



## RAPPORT DE STAGE

---

# Fracturation de floes de glace par percussion dans un modèle granulaire

---

*Étudiant*

Desmond Roussel NZOYEM

*Superviseur*

Stéphane LABBÉ

*Enseignant référent*

Christophe PRUD'HOMME



*Ce stage à été effectué dans le cadre du master 2 CSMI,  
du 03 février 2021, au 31 juillet 2021 ;  
initié par le groupe SASIPau LJLL.*

Année académique 2020 - 2021

9 février 2021

## *Remerciements*

# Table des matières

<b>Remerciements</b>	<b>i</b>
<b>1 Introduction</b>	<b>1</b>
<b>2 Environnement économique du stage</b>	<b>2</b>
2.1 Le secteur d'activité . . . . .	2
2.2 Le Laboratoire Jacques-Louis Lions . . . . .	2
<b>3 État de l'art</b>	<b>3</b>
3.1 Position du problème . . . . .	3
3.1.1 Modélisation d'un floe de glace . . . . .	3
3.2 État de l'art . . . . .	5
3.2.1 Le modèle du floe . . . . .	5
3.2.2 Le modèle de l'environnement . . . . .	8
<b>4 Travaux et apports</b>	<b>9</b>
4.1 Les travaux effectués . . . . .	9
4.2 Les apports du stage . . . . .	9
<b>5 Déroulement du stage</b>	<b>10</b>
5.1 Journal de bord . . . . .	10
<b>6 Conclusion</b>	<b>11</b>
<b>Bibliographie</b>	<b>12</b>

## Chapitre 1

# Introduction

## Chapitre 2

# Environnement économique du stage

### 2.1 Le secteur d'activité

### 2.2 Le Laboratoire Jacques-Louis Lions

## Chapitre 3

# État de l'art

### 3.1 Position du problème

#### 3.1.1 Modélisation d'un floe de glace

Nous commençons par présenter une modélisation mathématique d'une plaque de glace (appelé floe) sur la mer. Six variables (locales) sont nécessaires pour décrire un floe sur la mer (voir figure 1) :

- Un ouvert connexe  $\omega \in \mathbb{R}^2$  décrivant la section longitudinale du floe;
- Deux fonction  $h_+, h_- \in \mathcal{F}(\omega, \mathbb{R})$  décrivant l'épaisseur du floe, telle que  $\forall x \in \omega, h_-(x) \leq h_+(x)$ ;
- Le centre de gravité du floe  $G(w)$ ;
- Deux vecteurs  $e_1(\omega)$  et  $e_2(\omega)$  formant une base sur  $\omega$ .

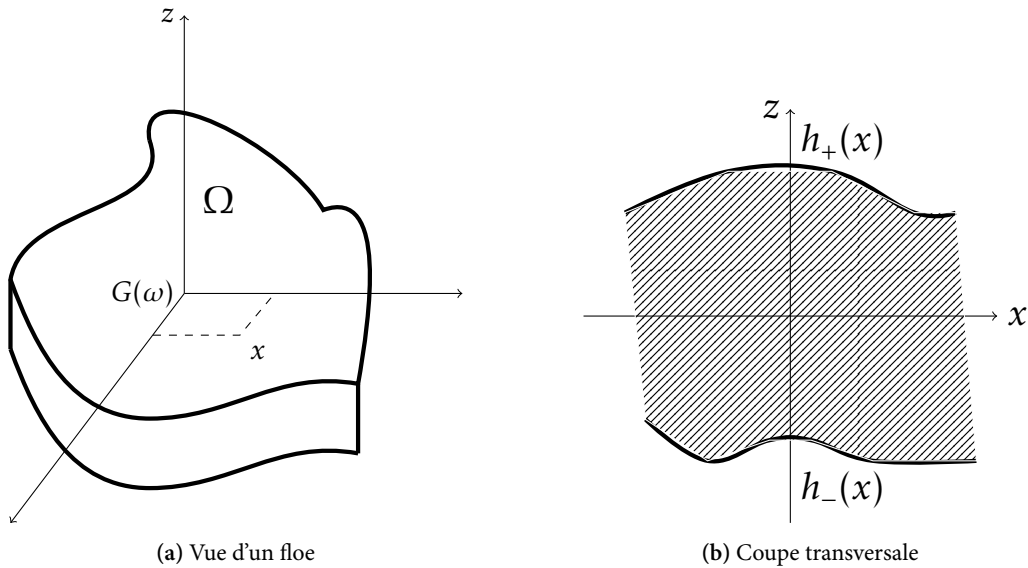


FIGURE 3.1 – Illustration de la géométrie d'un floe de glace  $\Omega$ .

**LES VECTEURS  $E1$  ET  $E2$  (ET TOUS LES AUTRES VECTEURS) DOIVENT ETRE EN GRAS!**

Le volume  $\Omega$  du floe est donné par :

$$\Omega = \{(x, z) | x \in \omega \in \mathbb{R}^2, z \in ]h_-(x), h_+(x)[\}.$$

Les fonctions  $h_-$  et  $h_+$  permettent de définir trois quantités (voir figure 2) :

- L'épaisseur moyenne du floe :  $\bar{h} = \sup_{x \in \omega} h_+(x) - \inf_{x \in \omega} h_-(x)$ ;
- La plus forte épaisseur :  $\bar{h}^* = \sup_{x \in \omega} |h_+(x) - h_-(x)|$ .
- La plus faible épaisseur :  $\underline{h}^* = \inf_{x \in \omega} |h_+(x) - h_-(x)|$ .

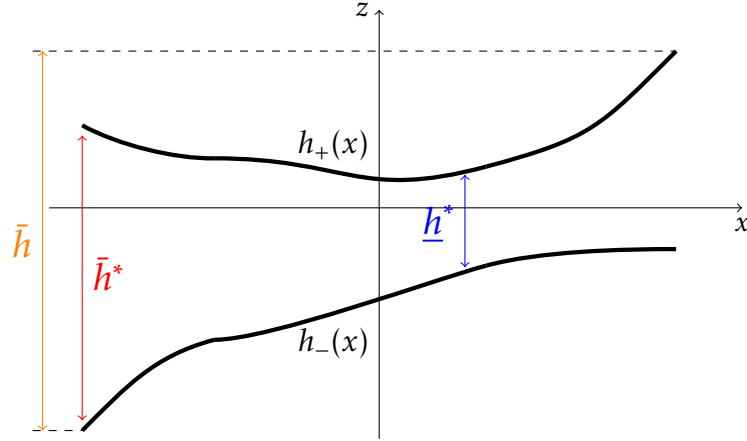


FIGURE 3.2 – Illustration des différentes épaisseurs décrivant le floe de glace. Pour l'instant, afin d'obtenir un floe relativement plat (i.e  $\bar{h}$  faible),  $h_-$  sera pris identiquement nul, et  $h_+$  constant.

Les vecteur  $e_1(\omega)$  et  $e_2(\omega)$  sont liés à  $\omega$ , et pointent vers un point fixe du bord  $\partial\omega$  du floe i.e :

$$\exists \sigma_i \in \partial\omega | e_i(\omega) = \frac{\sigma_i - G(\omega)}{\|\sigma_i - G(\omega)\|}, \text{ pour } i \in \{1, 2\},$$

où  $\|\cdot\|$  désigne la norme euclidienne de  $\mathbb{R}^2$ . Notons que  $\sigma_1 \neq \sigma_2$ , et  $e_1(\omega) \cdot e_2(\omega) = 0$  de façon à ce que la base  $(e_1(\omega), e_2(\omega))$  soit directe.

Un floe  $F = (\omega, e_1(\omega), e_2(\omega), G(\omega), h_-, h_+)$  se déplace sur la mer<sup>1</sup>  $\mathcal{M} \in \mathbb{R}^2$ . Au temps  $t$  après une translation de vecteur  $u(t)$  (et de matrice  $T_{u(t)}$ ), et une rotation de vecteur  $\theta(t)$  (et de matrice  $R_{\theta(t)}$ ), on obtient le floe  $F_t$  défini par (voir figure 3) :

$$F_t = (T_{u(t)}R_{\theta(t)}\omega, T_{u(t)}R_{\theta(t)}e_1(\omega), T_{u(t)}R_{\theta(t)}e_2(\omega), T_{u(t)}R_{\theta(t)}G(\omega), h_-, h_+).$$

**REMPALCER CES TRANSFORMATION ENCOMBRANTES PAR UN *prime* SIMPLE!**

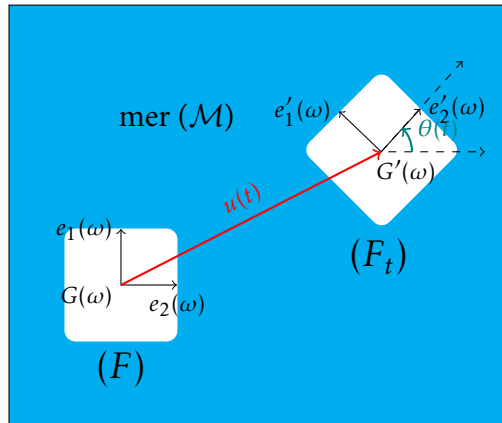


FIGURE 3.3 – Illustration du mouvement d'un floe de glace  $F$  dans la mer, après une translation de vecteur  $u(t)$  et une rotation d'angle  $\theta(t)$ , pour obtenir le floe  $F_t$ . On observe la transformation des propriétés du floe, en particulier les vecteurs  $e_1(\omega)$  et  $e_2(\omega)$  qui restent liés au floe.

1. Pour l'instant, la mer est considérée comme un ouvert dans  $\mathbb{R}^2$ . Plus tard, nous prendrons en compte son épaisseur lorsque nous la modéliserons par une sphère

Lors de leur mouvements sur la surface de la mer, les floes se fracturent sous l'effet des vents et des courants océaniques. Nous nous intéresserons donc au phénomène de percussion en vue de l'initialisation des fractures dans les floes de glace.

Afin de décrire le mouvement des floes de glace sur la mer, nous devons nous munir d'un repère absolu, que notons  $\mathcal{R}_{abs} = (O, \mathbf{i}, \mathbf{j}, \mathbf{k})$ . le repère associé au floe  $\Omega_i$  sera noté  $\mathcal{R}_{\Omega^i} = (O, \mathbf{e}_1(\omega), \mathbf{e}_2(\omega), \mathbf{k})$ . Dans ce repère absolu, le floe possède 3 degrés de libertés : l'abscisse et l'ordonnée de son centre de gravité  $G^i(\omega)$ , et l'orientation du floe donné par l'angle  $\theta^i(t)$  (voir figure 3.4).

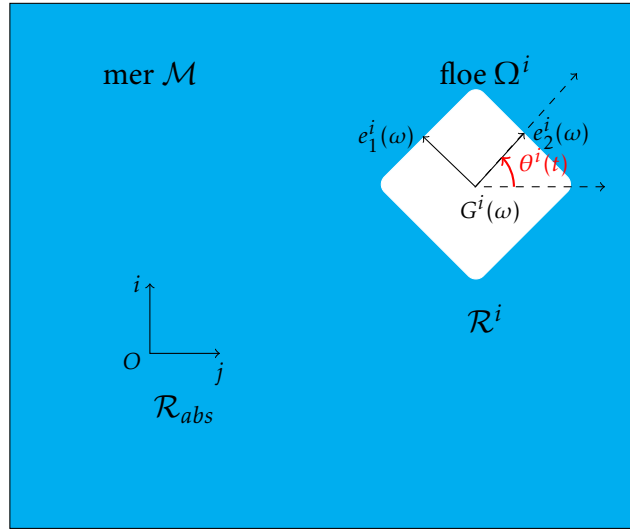


FIGURE 3.4 – Positionnement d'un floe de glace  $\Omega^i$  dans le repère absolu  $\mathcal{R}_{abs}$ .

*DEFINIR LE REPERE ABSOLUE DU FLOE EN 2D, AVEC LE REPERE LOCAL. ECRIRE LE VECTEUR POSITION, ET ECRIRE LES EQUATIONS DE NEWTON-EULER.*

## 3.2 État de l'art

Une fois le modèle défini, il nous faut établir les équations décrivant la dynamique du floe, et celle de son environnement. Les travaux de RABATEL, 2015 et BALASOIU, 2020 ont extensivement traité le problème de modélisation dynamique et de simulation d'un assemblage de floe de glace. Nous résumons ici les principales idées de leurs raisonnements, tout en présentant l'état de l'art dans ce domaine.

### 3.2.1 Le modèle du floe

#### 3.2.1.1 La cinétique du floe

L'approche discrète décrite dans (RABATEL, 2015) consiste à définir le mouvement de chaque floe. Les obstacles sont des floes aux mêmes propriétés que les floes de glace, à la seule différence qu'ils ont une masse (volumique) infinie. Dans (RABATEL, 2015), l'auteur travaille dans un repère orthormé direct  $\mathcal{R}_{abs} = (O, \mathbf{i}, \mathbf{j}, \mathbf{k})$ , cependant, la mer est considérée plane, et le mouvement du floe peut être décrit dans le plan  $\mathcal{P} = (O, \mathbf{i}, \mathbf{j})$ . On désigne la vitesse angulaire du floe  $\Omega^i$  par

$$\boldsymbol{\theta}^i(t) = \theta^i(t)\mathbf{k} = (0, 0, \theta^i(t))^T.$$

Soit  $P$  de coordonnées  $x$  un point quelconque de  $\mathcal{P} \subset \mathbb{R}^2$ . Sa vitesse dans le repère  $\mathcal{R}_{abs}$  est donnée par la formule de Varignon :

$$\dot{P}(t) = \dot{G}^i(t) + \boldsymbol{\theta}^i(t) \wedge \mathbf{G}^i P,$$



où le symbole  $\wedge$  représente le produit vectoriel dans  $\mathbb{R}^3$ . La masse (constante) du floe rigide indéformable est donnée par

$$M^i = \rho^i \int_{\Omega^i(t)} h_+^i(x) dx.$$

Ensuite, l'auteur défni :

- la somme des force par unité de volume qui s'applique au centre de masse du floe  $\Omega^i$  :

$$\mathbf{F}^i = \rho^i \int_{\Omega^i(t)} \mathbf{F}(x) dx.$$

- le moment cinétique<sup>2</sup> en  $G$  :

$$L^i = \rho^i \int_{\Omega^i(t)} \mathbf{GP} \wedge \dot{\mathbf{P}}(t) dx.$$

- le moment dynamique<sup>3</sup> en  $G$  :

$$\mathfrak{M}^i = \int_{\Omega^i(t)} \mathbf{GP} \wedge \mathbf{F}(x) dx.$$

Sous le formalisme de Newton-Euler, RABATEL montre que chaque floe  $\Omega^i$  vérifie :

$$\begin{cases} M^i \frac{d\dot{\mathbf{G}}^i(t)}{dt} = \mathbf{F}^i \\ \mathcal{I}^i \frac{d\dot{\boldsymbol{\theta}}^i(t)}{dt} = \mathfrak{M}^i \end{cases},$$

qui se réécrit facilement sous la forme

$$\mathcal{M}^i \frac{dW^i(t)}{dt} = \mathcal{H}^i(t), \quad (3.1)$$

avec

$$\mathcal{M}^i = \begin{pmatrix} M^i & 0 & 0 \\ 0 & M^i & 0 \\ 0 & 0 & \mathcal{I}^i \end{pmatrix}, W^i(t) = \begin{pmatrix} \dot{\mathbf{G}}^i(t) \\ \dot{\boldsymbol{\theta}}^i(t) \end{pmatrix} \text{ et } \mathcal{H}^i(t) = \begin{pmatrix} \mathbf{F}^i(t) \\ \mathfrak{M}^i(t) \end{pmatrix}.$$

Pour un système composé de  $n$  floes, l'équation précédente doit être satisfaite pour tous les floes. RABATEL, 2015, p.18 montre que cela revient au système d'équations

$$\mathcal{M} \frac{dW(t)}{dt} = \mathcal{H}(t), \quad (3.2)$$

avec

$$\mathcal{M} = (\mathcal{M}^i)_{1 \leq i \leq n}, \mathcal{W}(t) = (W^i(t))_{1 \leq i \leq n} \text{ et } \mathcal{H}(t) = (\mathcal{H}^i(t))_{1 \leq i \leq n}.$$

L'énergie cinétique du floe  $\Omega^i$  quant à elle sera donné par :

$$E^i(t) = \frac{1}{2} M^i \dot{\mathbf{G}}^i(t)^2 + \frac{1}{2} \mathcal{I}^i \dot{\boldsymbol{\theta}}^i(t)^2.$$

### 3.2.1.2 L'interaction entre les floes

Le domaine de la mécanique du contact s'est grandement développé ces derniers siècles, avec plusieurs scientifiques qui ont tenté de décrire le phénomène de contact entre des corps. Le modèle décrit par (RABATEL et al., 2015, p.5892) utilise deux conditions de complémentarité pour déterminer les vitesses des floes après le contact.

---

2. du à l'accélération du floe

3. du aux forces extérieures exercées sur le floe

La première est une condition de Signorini (SIGNORINI, 1933) pour s'assurer de la non-interpénétration<sup>4</sup> des floes. Pour écrire ces conditions, il faut au préalable écrire le problème de contact entre floes comme un problème implicite, où les inconnus sont les impulsions après le choc. RABATEL se base donc sur les travaux de Delassus (1917), Moreau (63), (Pfeiffer and Glocker, 1996), [Stewart and Trinkle, 1996; Stewart, 2000; Anitescu and Potra, 1997; Anitescu et al., 1999]. Dans (RABATEL et al., 2015, p.5892), le problème de complémentarité a ensuite résolu en utilisant l'algorithme de Lemke [Cottle et al., 1992, Alg. 6.3.1].

#### IMAGE D'UNE COLLISION EN $P_j$

Soit  $P_j$ , ( $j \in \{1, \dots, n\}$ ) un point de contact entre les floes  $\Omega_k$  et  $\Omega_l$ . Nous notons  $\mathbf{F}_{kj}(t)$  la force de contact du floe  $\Omega_k$  au floe  $\Omega_l$  appliquée en  $P_j$ . Par convention, une matrice de contact  $\mathbf{M}_c$  est définie telle que son coefficient  $c_{kj}$  vaut :

- 0 si le point de contact  $P_j$  n'est pas un point de contact du floe  $\Omega_k$ ;
- -1 si le point de contact  $P_j$  est un point de contact entre les floes  $\Omega_k$  et  $\Omega_l$  avec  $k < l$ ;
- 1 si le point de contact  $P_j$  est un point de contact entre les floes  $\Omega_k$  et  $\Omega_l$  avec  $k > l$ .

En notant  $E_k$  l'ensemble des points de contact du floe  $\Omega_k$  au temps  $t$ , (RABATEL, 2015, p.26) définit la résultante des forces de contact  $\mathbf{F}_k^c(t)$ , au floe  $\Omega_k$  comme :

$$\mathbf{F}_k^c(t) = \sum_{j \in E_k} c_{kj} \mathbf{F}_{kj}(t)$$

En rajoutant ces forces aux forces extérieures lors du bilan des forces à l'équation (3.3), on obtient, pour un floe  $\Omega_k(t)$  :

$$\mathcal{M} \frac{dW(t)}{dt} = \mathcal{H}(t) + \sum_{j \in E_k} \left( \mathbf{G}^k \mathbf{P}_j \wedge \mathbf{F}_{kj}(t) \right). \quad (3.3)$$

#### 3.2.1.3 Formulation en problème linéaire de complémentarité

Il existe deux principales manières de formuler le problème du contact entre deux solides rigides. L'auteur de (RABATEL, 2015) opte pour le formalisme vitesse-impulsion, au détriment du formalisme accélération-force. En effet, l'approche en vitesse impulsion apporte donc l'avantage de pouvoir exprimer la force de friction de Coulomb directement par rapport à la vitesse. Il n'est pas nécessaire de connaître la nature du contact. Il nous faut donc définir les notions d'impulsion. Sur un intervalle de temps  $\delta t^*$ , s'il y a un contact au point  $P_j$ , entre les floes  $\Omega_k$  et  $\Omega_l$ , nous dirons que le floe  $\Omega_k$  a subi un choc provenant du floe  $\Omega_l$  au point de contact  $P_k$  caractérisé par l'impulsion :

$$\mathcal{I}_{kj} = \int_{\delta t^*} c_{kj} \mathbf{F}_{kj}(t) dt.$$

RABATEL fait donc apparaître les impulsions dans les équations des moments équation (3.3) pour le floe  $\Omega_k$  sur l'intervalle temporel  $\delta t^*$  :

$$\mathcal{M}_k \int_{\delta t^*} \dot{W}_k(t) dt = \int_{\delta t^*} \mathcal{H}(t) dt + \sum_{j \in E_k} \left( \mathbf{G}^k \mathbf{P}_j \wedge \mathcal{I}_{kj} \right).$$

En écrivant  $\delta t^* = [t^-, t^+]$ , on peut donc introduire les inconnues  $\beta, \lambda \in (\mathbb{R}^2)^m$  pour le problème de contact

$$\mathcal{M}_k (W(t^+) - W(t^-)) = \int_{\delta t^*} \mathcal{H}(t) dt + \mathbf{B}\beta + \mathbf{J}\lambda, \quad (3.4)$$

où  $\mathbf{B}$  sont deux matrices telle que ... (equation 1.1.14 de la these)

4. Deux floes s'interpénètrent si la "distance" entre ces deux floes est négative.

Il devient possible de formuler le problème de contact sans interpénétration par un problème linéaire de complémentarité : (equation 1.1.22) de la these

#### **3.2.1.4 Conservation de l'énergie cinétique**

#### **3.2.1.5 Traitement des conditions aux bords**

#### **3.2.2 Le modèle de l'environnement**

## Chapitre 4

# Travaux et apports

### 4.1 Les travaux effectués

### 4.2 Les apports du stage

- L'utilisation de TIKZ

## Chapitre 5

# Déroulement du stage

### 5.1 Journal de bord

## Chapitre 6

# Conclusion

# Bibliographie

- BALASOIU, Dimitri (2020). « Modélisation et simulation du comportement mécanique de floes de glace ». Thèse de doct. Université Grenoble Alpes.
- RABATEL, Matthias (nov. 2015). « Modélisation dynamique d'un assemblage de floes rigides ». Theses. Université Grenoble Alpes. URL : <https://tel.archives-ouvertes.fr/tel-01293341>.
- RABATEL, Matthias et al. (2015). « Dynamics of an assembly of rigid ice floes ». In : *Journal of Geophysical Research : Oceans* 120.9, p. 5887-5909.
- SIGNORINI, Antonio (1933). « Sopra alcune questioni di elastostatica ». In : *Atti della Societa Italiana per il Progresso delle Scienze* 27, p. 69.